

УДК 621.431.37.001.76: 629.33/36

## **ДО УДОСКОНАЛЕННЯ ПАЛИВНОГО БАКА МОБІЛЬНО-ЕНЕРГЕТИЧНОГО ЗАСОБУ З ІЗОЛЬОВАНИМ НАДРІДИННИМ ПРОСТОРОМ**

**В.І. Дуганець**, канд. техн. наук,

**А.М. Божок**, доцент,

**В.В. Майсус**, старший викладач,

**М.П. Волинкін**, магістрант

*Подільський ДАТУ*

*Наведено принципову схему та описано роботу удосконаленого паливного бака мобільно-енергетичного засобу, а також результати його дослідження.*

**Ключові слова:** паливний бак, надрідинний простір, диференціатор, фіксатор, підсумовуючий важіль, демпфер, діафрагма.

**Проблема.** Для безперебійної роботи двигунів внутрішнього згоряння (ДВЗ) всіх мобільно-енергетичних засобів (МЕЗ) з повним навантаженням протягом не менше 10 годин вони обладнуються паливними баками (ПБ) із заливними горловинами, у верхній частині яких розміщені кришки з паровим і повітряним клапанами. Випускний клапан, навантажений пружиною, відкривається і випускає пару в навколошнє середовище, коли в результаті випаровування пального тиск пари в баку збільшиться і перевершить на 0,01... 0,18 МПа атмосферний. При витраті пального тиск в ПБ понижується і при досягненні 0,002... 0,004 МПа відкривається повітряний клапан, через який поступає навколошнє повітря, забезпечуючи в його надрідинному просторі атмосферний тиск [1,2]. Недоліком сучасних ПБ є втрата пального через випаровування, яка в літній період залежно від температури може досягати, наприклад для бензину, 13% від загальної витрати. Крім цього, пари пального створюють вибухо- і пожежонебезпеку, а також погіршують екологію довкілля.

**Аналіз останніх досліджень і публікацій.** Відомий ПБ (Патент України №68467) з ізольованим від навколошнього середовища надрідинним простором, з якого все залите пальним і утворена пара виходить тільки через циліндри

ДВЗ. В ньому кришка заливної горловини виконана без парового і повітряного клапана, а необхідний тиск у надрідинному просторі регулюється подачею від штатного акумулятора МЕЗ додаткового стисненого повітря. Однак, крім функціонально необхідних і додатково приєднаних до штатного ПБ пневмолінії з комбінованим краном, яка сполучає його надрідинний простір із системою повітропостачання для відсмоктування пари з нього з подальшим спалюванням в циліндрах ДВЗ, а також пневмолінії сполучення його акумулятором стисненого повітря МЕЗ з виконавчим клапаном, кінематично зв'язаним з діафрагмою, локально розміщеною у верхній частині, не містить динамічних ланок, можливого форсування швидкодії регулюючих сигналів для зменшення запізнювання передачі їх від діафрагми до клапана перепуску повітря.

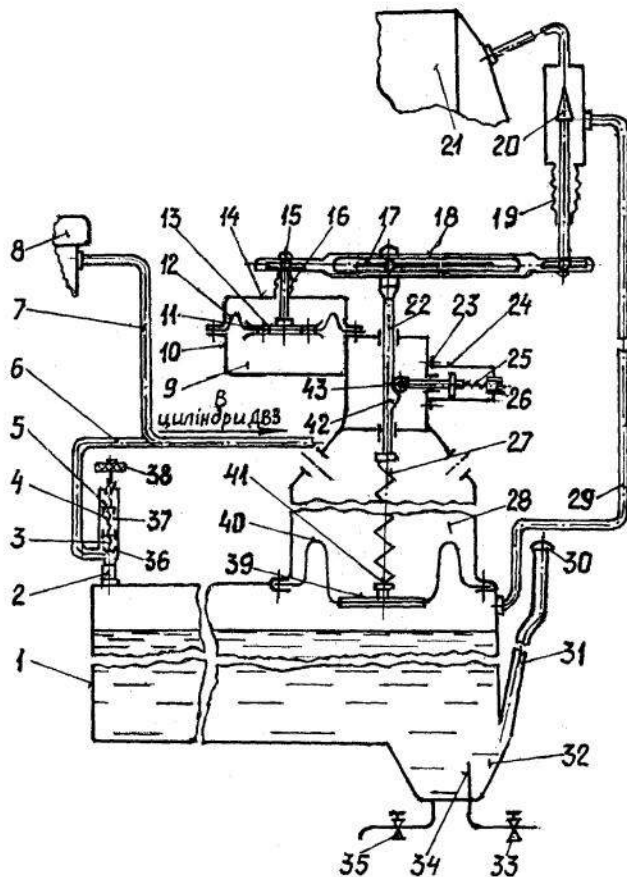
**Мета дослідження.** Виявити можливості удосконалення ПБ шляхом форсування швидкодії сигналів регулювання виконавчого клапана.

**Результати дослідження.** Удосконалений принципово новий (патент України № 85140) ПБ з можливим корегуванням сигналу регулювання тиску в надрідинному просторі був розроблений на кафедрі «Транспортні технології та енергетичні засоби» Подільського державного аграрно-технічного університету (ПДАТУ, м. Кам'янець-Подільський).

Паливний бак містить корпус 1 (рис. 1) з розміщеними в нижній частині заглибленням 32, забірною трубкою 34, витратним 33 і зливним 35 кранами і заливною горловиною 31 з герметичною кришкою 30, а у верхній частині — механізм 28 з діафрагмою 40, зв'язаною через пружину 27 зі штоком 22 пневматичного диференціатора 9. На штокові розміщений упор 42, взаємодіючий з роликом 43 фіксатора 23.

Диференціатор складається з корпуса 10, кришки 14, установленої між ними діафрагми 12 з дроселюючими отворами 13 і штоком 15, зв'язаним з одним плечем підсумовуючого важеля 18, друге плече якого — з перепускним клапаном 20 на пневмолінії 29, а середня частина через плоску пружину 17 — зі штоком 22.

Надрідинний простір ПБ сполучається зі штатною системою 7 повітропостачання за повіtroочисником 8 через пневмолінію 6 з комбінованим краном 37 і ділянкою 2 із прозорого матеріалу, для контролю верхнього рівня палива при заливі в бак. Кран 37 автоматичної і ручної дії містить клапан 36, шток 3 якого через пружину 4 зв'язаний з сідлом 5, взаємодіючим з гвинтом 38 настроювання клапана 36 на шток автоматичного або ручного спрацювання.



*Рис.1. Принципова схема уdosконаленого паливного бака:*

1, 10 — корпуси; 2 — прозора ділянка; 3, 15, 22 — штоки; 4, 17, 25, 27 — пружини; 5, 41—сідла; 6, 29 — пневмолінії; 7 — система повітропостачання; 8 — повітроочисник; 9 — диференціатор; 11 — отвір; 12, 40 — діафрагми; 13, 39 — основи; 14, 30 — кришки; 16, 19 —гофровані чохли; 18 — підсумовуючий важіль; 20, 28, 36 — клапані механізми; 21 —акумулятор стисненого повітря; 23 — фіксатор; 24 — втулка; 26, 38 — регулювальні гвинти; 31 — заливна горловина; 32 — залиблення; 33, 35, 37 — краны; 34 — забірна трубка; 42 — упор; 43 — ролик

При роботі ДВЗ у впускному тракті створюється розрідження і діафрагма 40, під дією атмосферного тиску переміщується донизу, забезпечує через трубку 34 і кран 33 вільне і безперебійне постачання пального з бака в систему живлення. При цьому ролик 43 підтиснутий пружиною 25 на упор 42 утримує клапан 20 закритим. З витратою пального від верхнього до нижнього рівня, що відповідає певному ходу діафрагми 40, остання, під дією дисбалансу атмосферного тиску і розрідження в ПБ, через пружину 27, здолавши зусилля пружини 25, буде переміщатися донизу. Протягом періоду витрати пального, що відповідає вільному ходу діафрагми 40, ролик 43 переміщується по поверхні упору 42, однак не в змозі перейти на його протилежний бік і клапан 20 закритий, а повітря із акумулятора 21 пневмолінією 29 в надрідинний простір бака не поступає.

Із збільшенням розрідження і дисбалансу сил, діючих на діафрагму 40, вона, доляючи зусилля пружини 25, опуститься, а ролик 43 різко перейде на протилежний бік упору 42 і перемістить важіль 18, від чого його плече, з'єднане з діафрагмою 12, через дроселювання повітря в отворах 11 затримається, що викличе додаткове переміщення клапана 20, яке буде пропорційне швидкості (першій похідній) змінювання тиску в надрідинному просторі. Від дії двох регулюючих сигналів: - першого пропорційного зменшенню тиску і другого, пропорційного першій похідній його зменшення, клапан 20 відкриється з певним випередженням, і повітря з акумулятора 21 пневмолінією 29 інтенсивніше поступатиме в надрідинний простір ПБ, підвищуючи в ньому тиск. В установленому режимі і зрівноваженні сили опору перетікання повітря через отвори 11 і жорсткості пружини 17, важіль 18 зі штоком 22 утворить прямий кут, а складова сигналу, пропорційна першій похідній зникне і повітря буде поступати в надрідинний простір за сигналами, пропорційними тільки збільшення в ньому тиску. Від дії дисбалансу сил надлишкового і атмосферного тиску, діафрагма 40 переміститься вверх на величину, при якій ролик 43 перейде на протилежний бік упора 23, а клапан 20 різко перекриє вихід повітря із акумулятора в надрідинний простір ПБ за аналогічними сигналами, пропорційними як збільшуванню тиску, так і першій похідній його збільшення. В обох випадках перерегулювання тиску і тривалість перехідного процесу зменшаться.

При будь-якому рівні пального в ПБ як при працюючому, так і не працюючому ДВЗ, від дії температури навколошнього середовища, тиск пари в надрідинному просторі підвищиться до величини спрацювання крана 37. Під

тиском пари клапан 36 автоматично підніметься, забезпечуючи перепуск її із надрідинного простору через пневмолінію 6 і систему повітропостачання ДВЗ в його циліндри. Для забезпечення ручного перепуску пари використовується регулювальний гвинт 38.

Компенсація додаткового приросту об'єму пального від його температурного розширення буде за рахунок надрідинного простору і податливості діафрагми.

Вхідною величиною діафрагмового чутливого механізму тиску, при відліку в малих приростах від динамічного рівновісного стану, є тиск  $\Delta P$ , а вихідною — переміщення  $\Delta h$  зв'язаного з нею штока. Він може бути описаний диференціальним рівнянням

$$T_1 \frac{dh}{dt} + h = K_1 \Delta P, \quad (1)$$

або в операторній формі запису [3]

$$(T_1 p + 1) p = K_1 \Delta P. \quad (2)$$

Тут постійна часу, що характеризує інерційні властивості чутливого механізму, рівна

$$T_1 = \frac{F(C_1 h_0 + P_i F)}{\alpha C_1 R \Theta}, \quad (3)$$

а коефіцієнт його підсилення

$$K_1 = \frac{F}{C_1}, \quad (4)$$

де  $F$  — ефективна площа діафрагми;  $C_1$  — жорсткість пружини діафрагми;  $P_u$  — розрідження на початку руху штока діафрагми;  $R$  і  $\Theta$  — постійна часу і абсолютна температура суміші пари з повітрям;  $\alpha = \frac{M_{cp}}{P_m - P_u}$  — коефіцієнт витрати суміші;  $M_{cp}$  — середньоінтегральна величина витрати суміші в інтервалі розрідження  $P_u$  — і максимальна  $P_m$ ;  $P = \frac{d}{dt}$  — оператор перетворення Лапласа.

Із рівняння (2), що являє собою рівняння аперіодичної інерційної ланки, передаточна функція матиме вигляд:

$$W_1(p) = \frac{K_1}{T_1 p + 1}. \quad (5)$$

Другою динамічною ланкою є підпружинений фіксатор з двоступінчастим упором. При цьому нижній упор з кутом підйому  $\alpha_1$ , відповідає переміщенню штока в режимі підвищеної готовності до спрацювання, а верхній упор з кутом  $\alpha_2$  — переміщенню його в режимі спрацювання.

При вхідній координаті  $h$ , а вихідній —  $x_\phi$ , рух фіксатора описеться наступними алгебраїчними рівняннями [6]:

- на нижньому упорі  $\alpha_1$

$$x_{1\phi} = (C_\phi h + 3) \operatorname{tg}^2 \alpha_1; \quad (6)$$

- на верхньому упорі  $\alpha_2$

$$x_{2\phi} = (C_\phi h + 3) \operatorname{tg}^2 \alpha_2, \quad (7)$$

де 3 — дія на фіксатор сигналу по каналу його настроювання;  $C_\phi$  — жорсткість пружини фіксатора.

Із рівнянь (6), (7) передаточні функції фіксатора по каналу його настроювання і спрацювання матимуть вигляд:

- на упорі  $\alpha_1$

$$W_{3h}(p) = K_3, \quad (8)$$

і

$$W_{33}(p) = K_3; \quad (9)$$

- на упорі  $\alpha_2$

$$W_{4h}(p) = K_4; \quad (10)$$

і

$$W_{43}(p) = K_4. \quad (11)$$

Тут  $K_3$  і  $K_4$  — коефіцієнти підсилення фіксатора відповідно на нижньому і верхньому упорі.

Із аналізу принципової схеми ПБ витікає, що чутливий механізм тиску утворений шляхом охоплення аперіодичної інерційної ланки  $W_1(p)$  від'ємним зворотнім зв'язком з підсилюючими ланками  $W_3(p)$  і  $W_4(p)$  [3].

Динамічною ланкою форсуючою швидкодію регулюючого сигналу є пневмомеханічний диференціатор, входом якого є переміщення штока 22  $h$ , а вихідною — переміщення клапана 20  $h_1$ . Динаміка його руху описується диференціальним рівнянням наступного вигляду:

$$T_2 \frac{dh_1}{dt} + h_1 = K_2 h, \quad (12)$$

або в операторній формі запису

$$(T_1 p + 1)h_1 = K_2 h. \quad (13)$$

Тут постійна часу диференціатора, рівна

$$T_2 = \frac{v}{C} \left( \frac{l_2}{l_3} \right)^2, \quad (14)$$

а коефіцієнт підсилення по похідній

$$K_2 = 1 + \frac{l_1}{l_2}, \quad (15)$$

де  $v$  — коефіцієнт пневматичного демпфування;  $C$  — жорсткість пружини;  $l_1, l_2$  і  $l_3$  — значення довжини плеч підсумовуючого важеля, величина яких залежить від місця прикладання зусиль і моментів.

Із рівняння (13) передаточна функція диференціатора буде мати вираз [3]

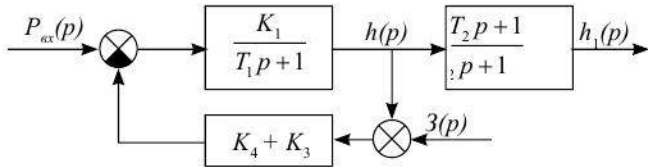
$$W_2(p) = \frac{K_2 T_2 p + 1}{T_2 p + 1}, \quad (16)$$

із якого випливає, що виходом його є не тільки само змінювання вхідної координати, але й похідна від неї.

Відповідно до принципової схеми (рис. 1) і з урахуванням формул (5), (8-11) і (16) механізм регулювання тиску в надрідинному просторі ПБ, утворений паралельним з'єднанням аперіодичної і підсилюальної ланки, з послідовним приєднанням до них диференціючої  $W_2(p)$  ланки. Структурна схема такого з'єднання представлена на рис. 2 для режиму його спрацювання, а загальна передаточна функція матиме вигляд [3,4].

$$\begin{aligned} W(p) &= [W_1(p) + W_4(p)] \cdot W_2(p) = \\ &= \left( \frac{K_1}{T_1 p + 1} + K_4 \right) \cdot \left( \frac{K_2 T_2 p + 1}{T_2 p + 1} \right) = \\ &= \frac{K T_1' p + 1}{T_1 p + 1} \cdot \frac{K_2 T_2 p + 1}{T_2 p + 1}, \end{aligned} \quad (17)$$

де  $K = K_1 + K_4$  — загальний коефіцієнт підсилення ланки охопленої від'ємним зворотнім зв'язком;  $T_1' = \frac{K_4 T_1}{K_1 + K_4}$  — постійна часу ланки.



*Рис. 2. Структурна схема механізму регулювання тиску*

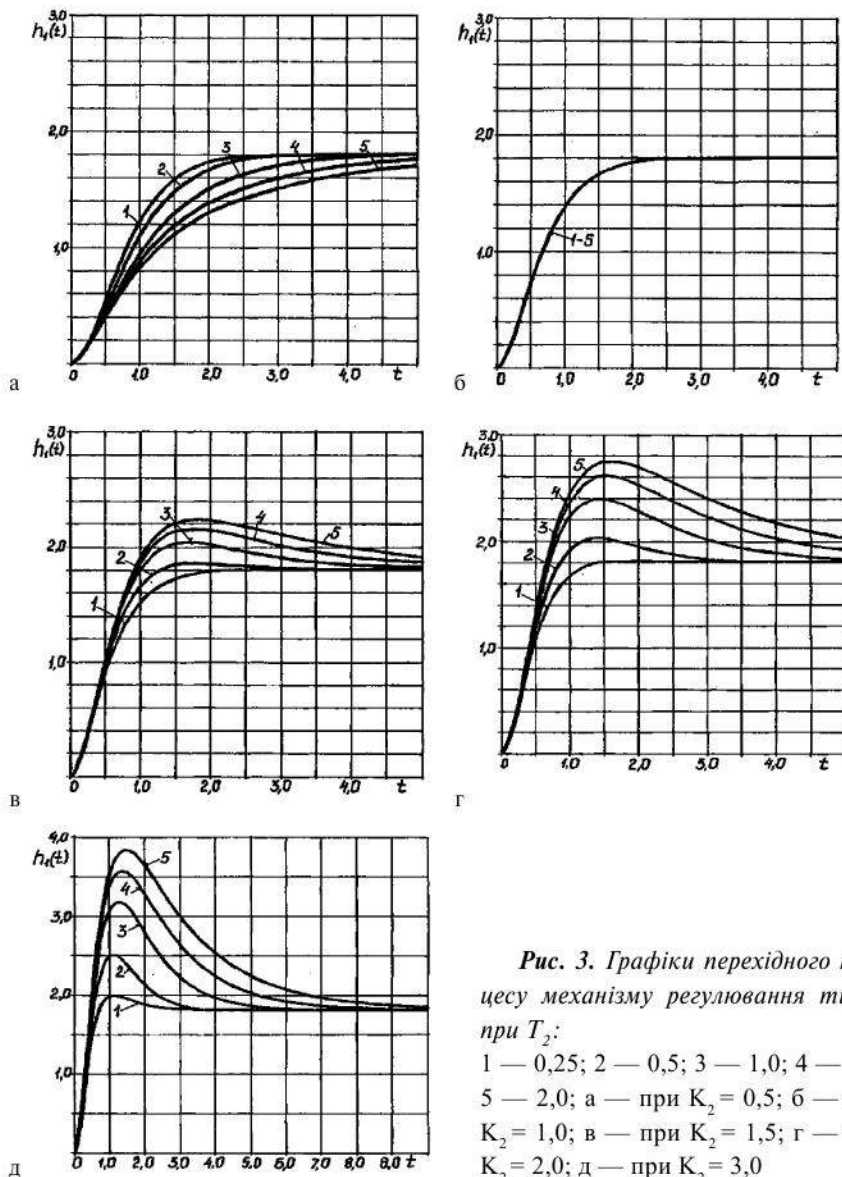
Через запізнювання, обумовлені місцевими і лінійними опорами впускного тракту, а також деформацію діафрагми, характер змінювання тиску в надрідинному просторі матиме вигляд

$$P(t) = P_0(1 - \exp(-at)), \quad (18)$$

де  $a$  — характер крутизни змінювання тиску.

Із структурної схеми (рис.2) удоосконаленого паливного бака перехідні процеси представляються наступним виразом(19)

$$\begin{aligned} h_1(t) = & \frac{K_1}{T_1 T_2 \left( \frac{1}{T_2} - \frac{1 + K_1(K_3 + K_4)}{T_1} \right)} \left\{ 1 - \right. \\ & \left. - K_2 T_2 \frac{1 + K_1(K_3 + K_4)}{T_1} \left[ - \frac{T_1}{1 + K_1(K_3 + K_4)} \left( e^{\frac{-1+K_1(K_3+K_4)}{T_1} t} - 1 \right) - \right. \right. \\ & \left. \left. - \frac{1}{1 + K_1(K_3 + K_4)} - a \left[ e^{\frac{-1+K_1(K_3+K_4)}{T_1} t} - e^{-at} \right] \right] \right\} - \\ & - (1 - K_2) \left[ -T_2 \left( e^{-\frac{t}{T_2}} - 1 \right) - \frac{1}{a - \frac{1}{T_2}} \left( e^{-\frac{t}{T_2}} - e^{-at} \right) \right] \Bigg\} P_0. \end{aligned} \quad (19)$$



*Рис. 3. Графіки перехідного процесу механізму регулювання тиску при  $T_2$ :*

1 — 0,25; 2 — 0,5; 3 — 1,0; 4 — 1,5;  
5 — 2,0; а — при  $K_2 = 0,5$ ; б — при  
 $K_2 = 1,0$ ; в — при  $K_2 = 1,5$ ; г — при  
 $K_2 = 2,0$ ; д — при  $K_2 = 3,0$

На (рис. 3) показані графіки переходного процесу механізму регулювання тиску в надрідинному просторі удосконаленого ПБ, отримані за дослідженнями останнього виразу. Із кривих переходного процесу випливає, що швидкодія регулюючих сигналів перепускного клапана збільшується із зменшенням  $T_2$  і збільшенням  $K_2$ . При цьому різко зростає перерегулювання клапана, яке із зменшенням  $K_2$  зникає і процес асимптотично переходить на рівень усталеного режиму. Характер переходного процесу не залежить від постійної  $T_2$  диференціатора при коефіцієнті підсилення  $K_2=1$ , але при відсутньому перерегулюванні значно зростає його тривалість. Тому для підвищення швидкодії клапана значення  $K_2$  необхідно вибирати якомога більшим, виходячи з конструктивних можливостей технічної реалізації диференціатора.

**Висновки.** Для підвищення швидкодії сигналів регулювання клапана перепуску повітря із акумулятора МЕЗ у надрідинний простір паливного бака необхідно в закон регулювання вводити складову пропорціональну швидкості (перший похідний) змінювання в ньому тиску. Формування корегуючих сигналів здійснювати за допомогою розміщеного між штоком діафрагми і клапаном пневматичного диференціатора з механічним підсумовуванням їх із сигналами пропорційними змінюванню тиску.

## Бібліографія

1. Гуревич А.М., Сорокин Е.М. Тракторы и автомобили. — Изд. 4-е, перераб. и доп. — М.: Колос, 1979 — 479 с.
2. Родичев В.А., Родичева Г.И. Тракторы и автомобили. — 2-е, изд., перераб. и доп. — М.: Агропромиздат, 1987. — 320 с.
3. Иващенко Н.М. Автоматическое регулирование. Теория и элементы систем. Учебник для вузов. Изд. 4 — е, перераб. и доп. — М.: Машиностроение, 1978. — 736 с.
4. Васильев Д.В., Чуч В.Г. Системы автоматического управления. — М.: Высшая школа, 1967. — 420 с.
5. Кожевников С.Н., Есипенко Я.И., Раскин Я.М. Механизмы. Справочник. Изд. 4-е, перераб. и доп. Под. Ред. С.Н. Кожевникова. — М.: Машиностроение, 1976. — 784 с.
6. Бронштейн И. Н., Семендяев К.А. Справочник по математике для инженеров и учащихся вузов. — М.: Наука, Главная редакция физ.-мат. л-ры, 1981. — 720 с.

## **К УСОВЕРШЕНСТВОВАНИЮ ТОПЛИВНОГО БАКА МОБИЛЬНО-ЭНЕРГЕТИЧЕСКОГО СРЕДСТВА С ИЗОЛИРОВАННЫМ СВЕРХЖИДКОСТНЫМ ПРОСТРАНСТВОМ**

*Приведена принципиальная схема и описана работа усовершенствованного топливного бака мобильно-энергетического средства, а также результаты его исследования.*

**Ключевые слова:** топливный бак, сверх жидкостное пространство, дифференциатор, фиксатор, суммирующий рычаг, демпфер, диафрагма.

### **TO IMPROVE THE FUEL TANK MOBILE-POWER TOOLS WITH INSULATED OF LIQUID SPACE**

*The schematic diagram is represented and is described the work of the schematic improved fuel tank for the mobile power tool and the result of its exploration.*

**Key words:** fuel tank, underfluid elbowroom, differentiator, retainer, summing level, damper, diaphragm.